

In Zusammenarbeit mit:







Praktikerkonferenz Wasserkraft Graz

13. September 2023

Dipl-Ing HES Gaspoz Anthony HYDRO-Exploitation SA

- Dr. Nicolet Christophe (Power Vision)
- Dr Sébastien Alligné (Power Vision)

HPP GRANDE DIXENCE: INBETRIEBNAHMEVERSUCHE AN EINER SICHERHEIT-DROSSELKLAPPE



Sommaire

- Einführung HPP Grande Dixence
- Sicherheit Drosselklappen
- Numerische Berechnungen
- Inbetriebnahme Versuche
 - Öffnung unter Druckdifferenz
 - Schliessung im fliessenden Wasser
- Schlussfolgerung
- Fragen Bemerkungen



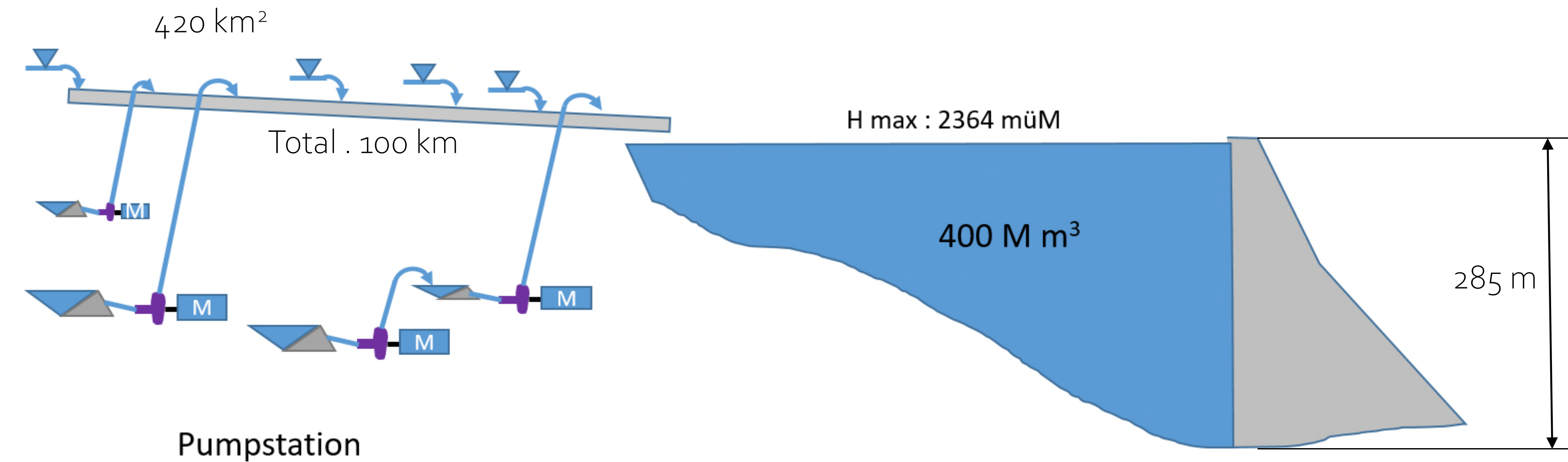






HPP Grande Dixence

Staumauer und Adduktion



• Zmutt : 92 MW

Stafel: 23.5 MW

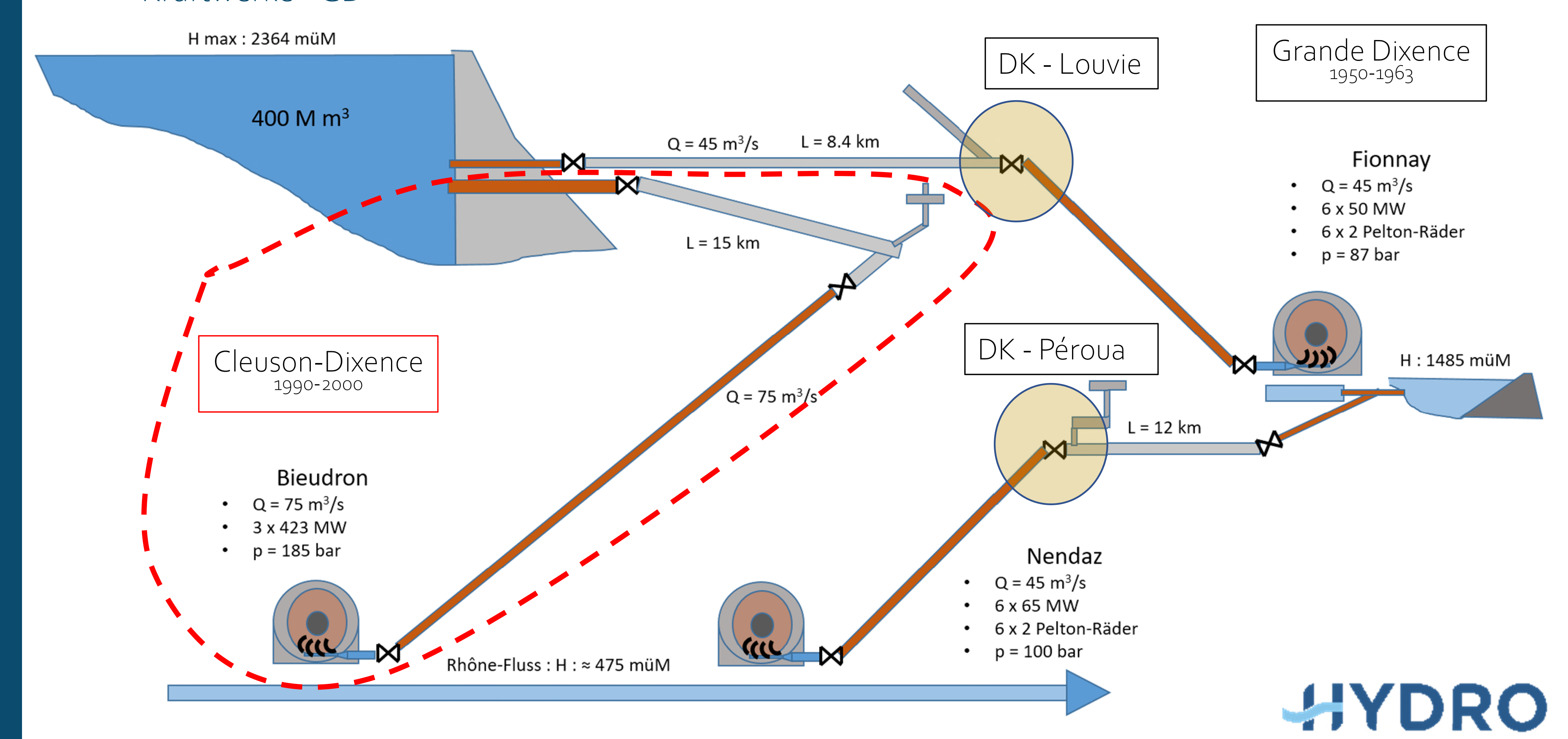
Ferpècle : 20.5 MW

Arolla: 45 MW



HPP Grande Dixence

Kraftwerke - GD



Sicherheits-Drosselklappen

DK - Louvie



Durchmesser : 3000 mm Nominal Druck : 22 bar

DK - Péroua



Durchmesser : 3000 mm Nominal Druck : 10 bar



Einflussparameter

DK – Eigenschaften

- > Geometrie
 - Durchmesser
 - Teller-Konstruktion
 - Exzentrizität
- > Schliesszeit
 - Im Totwasser
 - Mit Nominal-Durchfluss
 - Im Katastrophenfall
- Ventile (kleine)

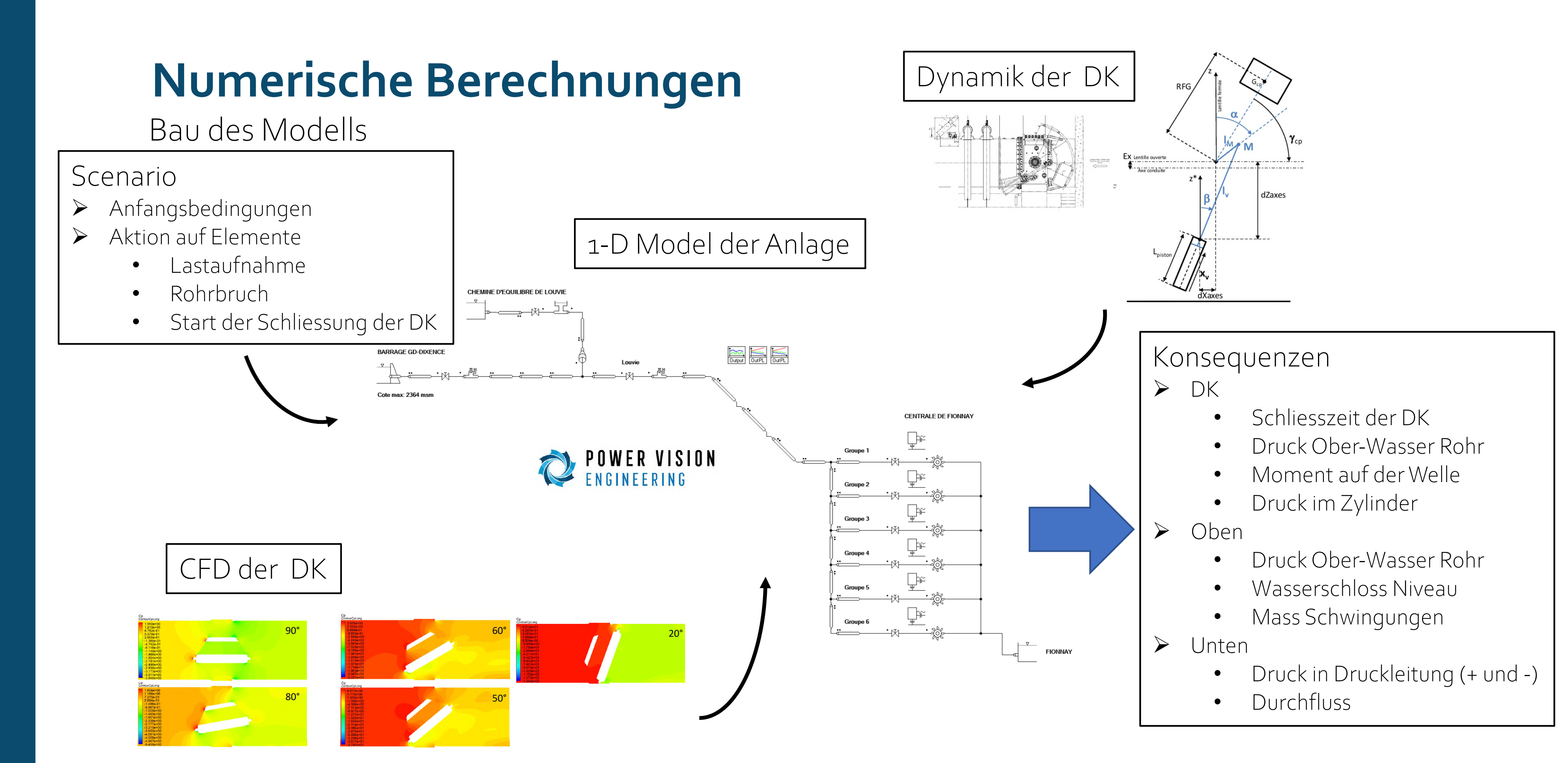


- ➤ Betrachtete Situation
 - Betrieb
 - Katastrophenfall
 - o Anfangsbedingungen
 - o Bruch-Durchmesser
 - o Bruch-Position
- > Obere Elemente
 - Reservoir-Niveau
 - Galerie
 - Wasserschloss
- > Unterwasser Elemente
 - Ventile
 - Druckleitung
 - Zentrale

Beanspruchungen auf die Klappen-Elemente und benachbarte Rohre

- > Pflichtheft
- > Einstellparameter

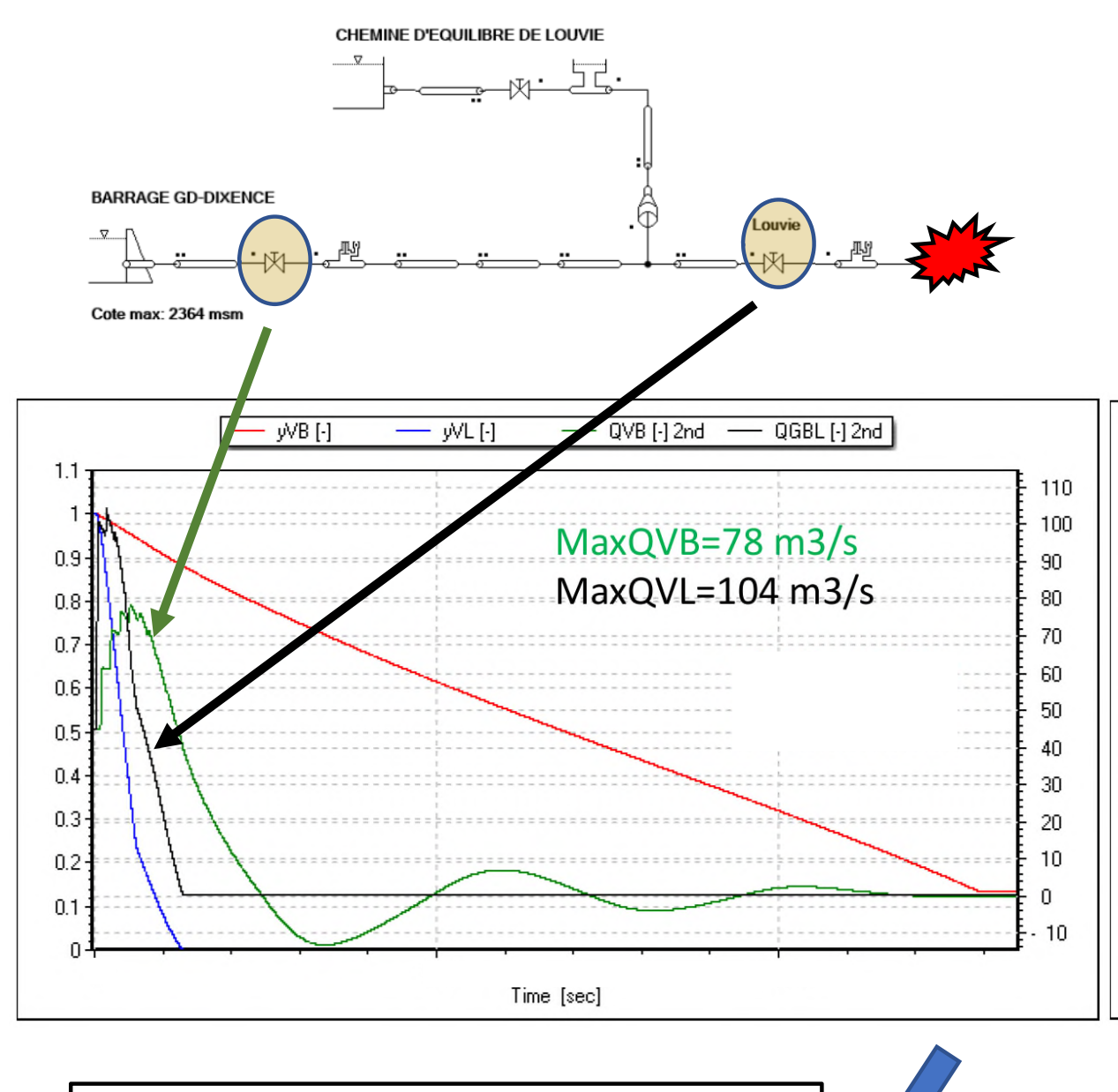




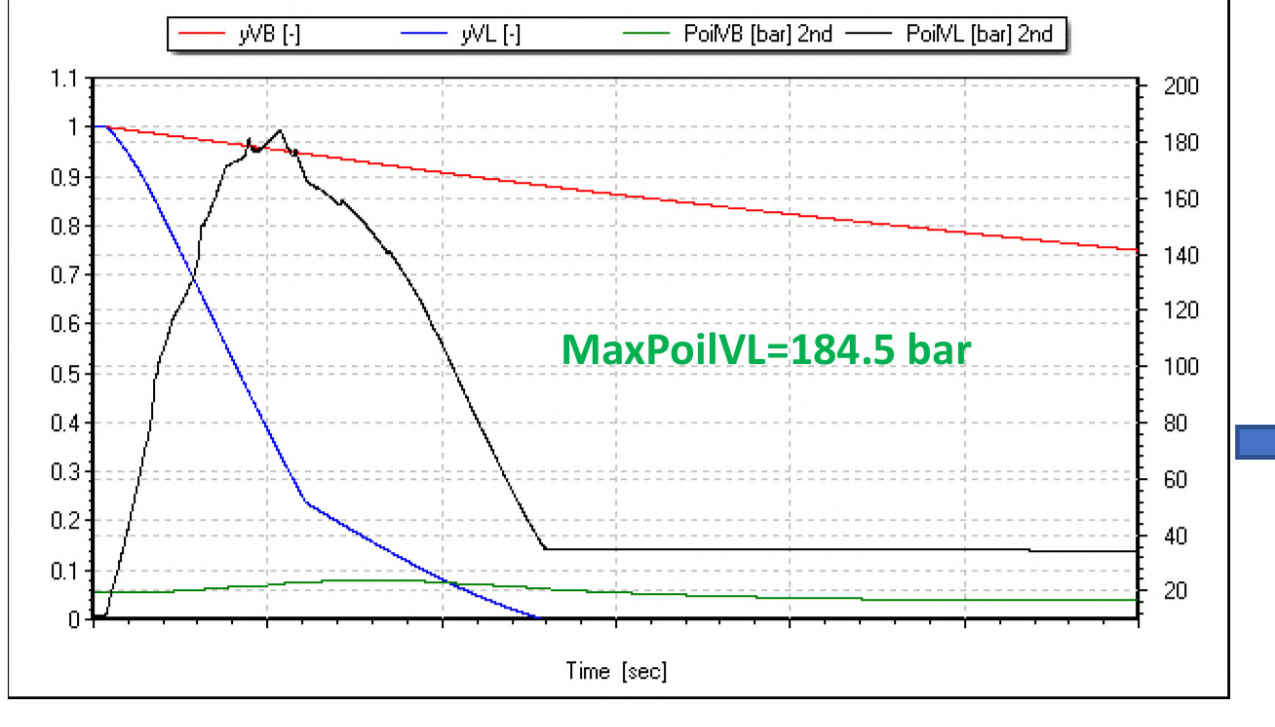
➤ Koeffiziente der Klappe (kM, kQ, kFi)



Szenario 1







Konsequenzen

- > DK-Louvie
 - p max im Zylinder = 184.5 bar
 - Bei der Änderung der Steigung des Verschlusses

Konsequenzen

- ➤ Klappe bei Staumauer
 - $Q \max = 78 \text{ m}^3/\text{s}$
- > DK-Louvie
 - $Q \max = 104 \text{ m}^3/\text{s}$
 - Schliesszeit: -66.6%

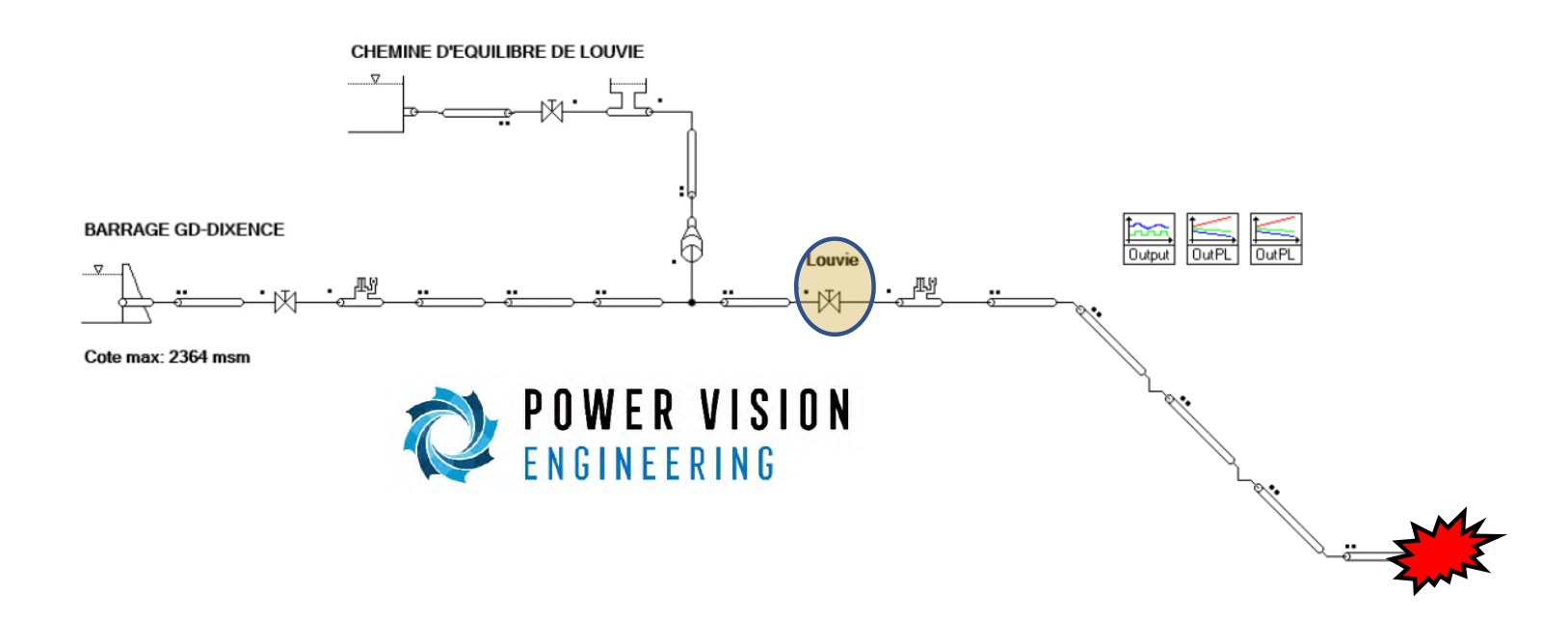


Wasserschloss Entleerung

- > Erhöhung des Durchflusses
 - Trägheit kleiner
 - Druckverlust der Galerie nicht beeinflussend
- > Abhängig von:
 - Trägheit der Galerie
 - Trägheit des Wasserschlosses
 - Verlustkoeffizient der Wasserschloss-Blende



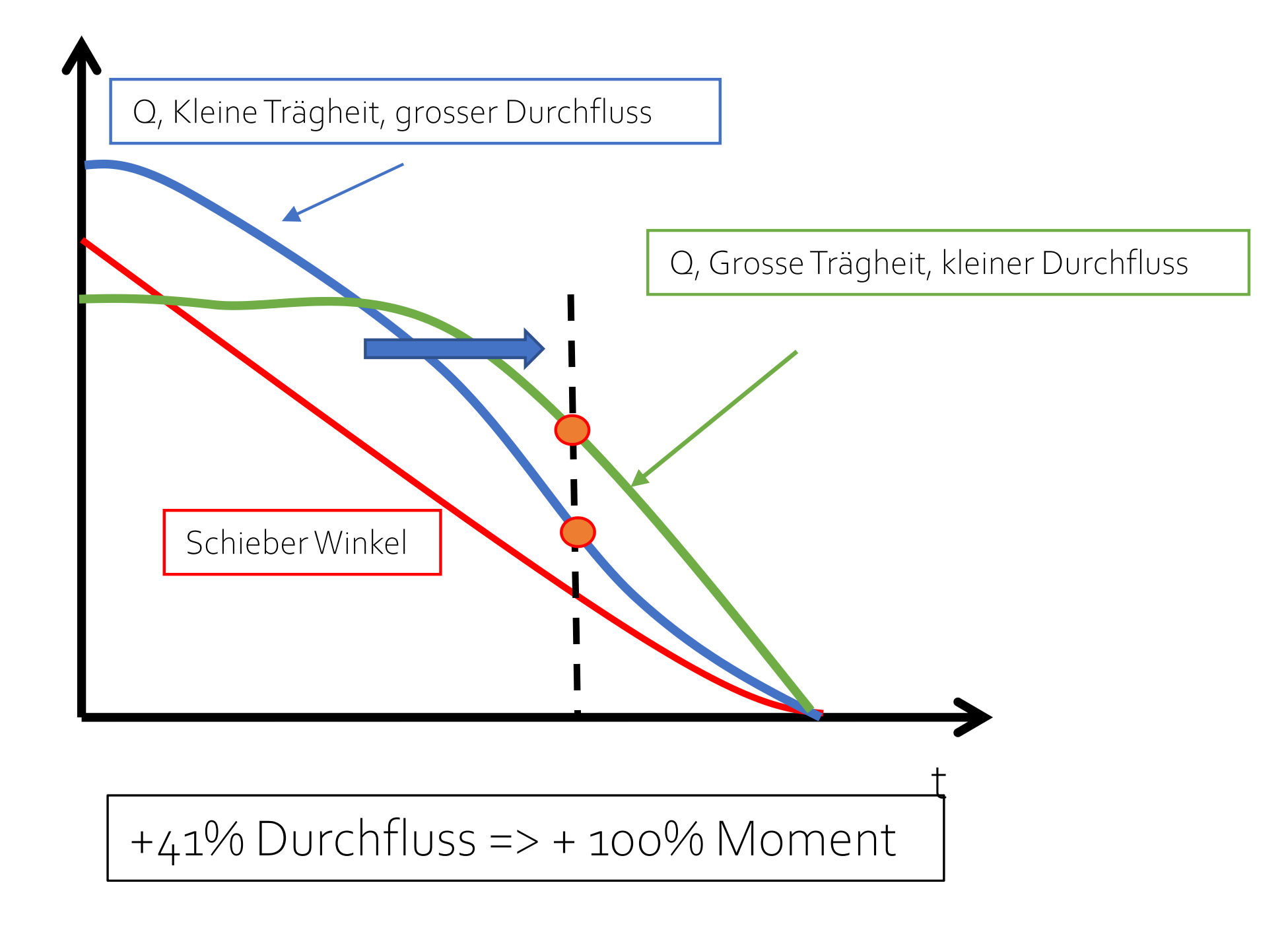
Szenario 2



Konsequenzen

- DK-Louvie
 - $Q \max = 85 \text{ m}^3/\text{s}$
 - Moment auf der Welle : + 57 %





Hauptbedingung:

Höherer Implantationsdruck der DK

➤ Ventile lange zu!

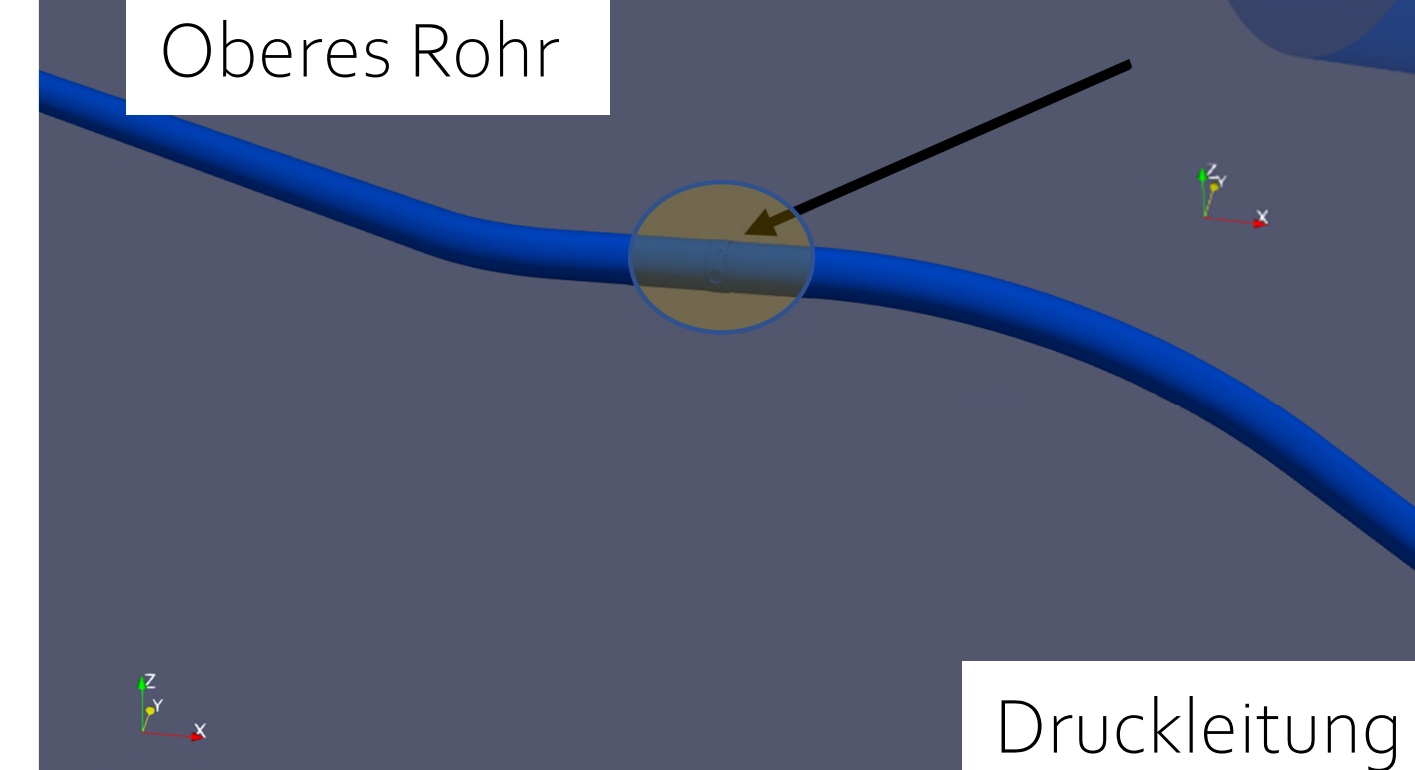


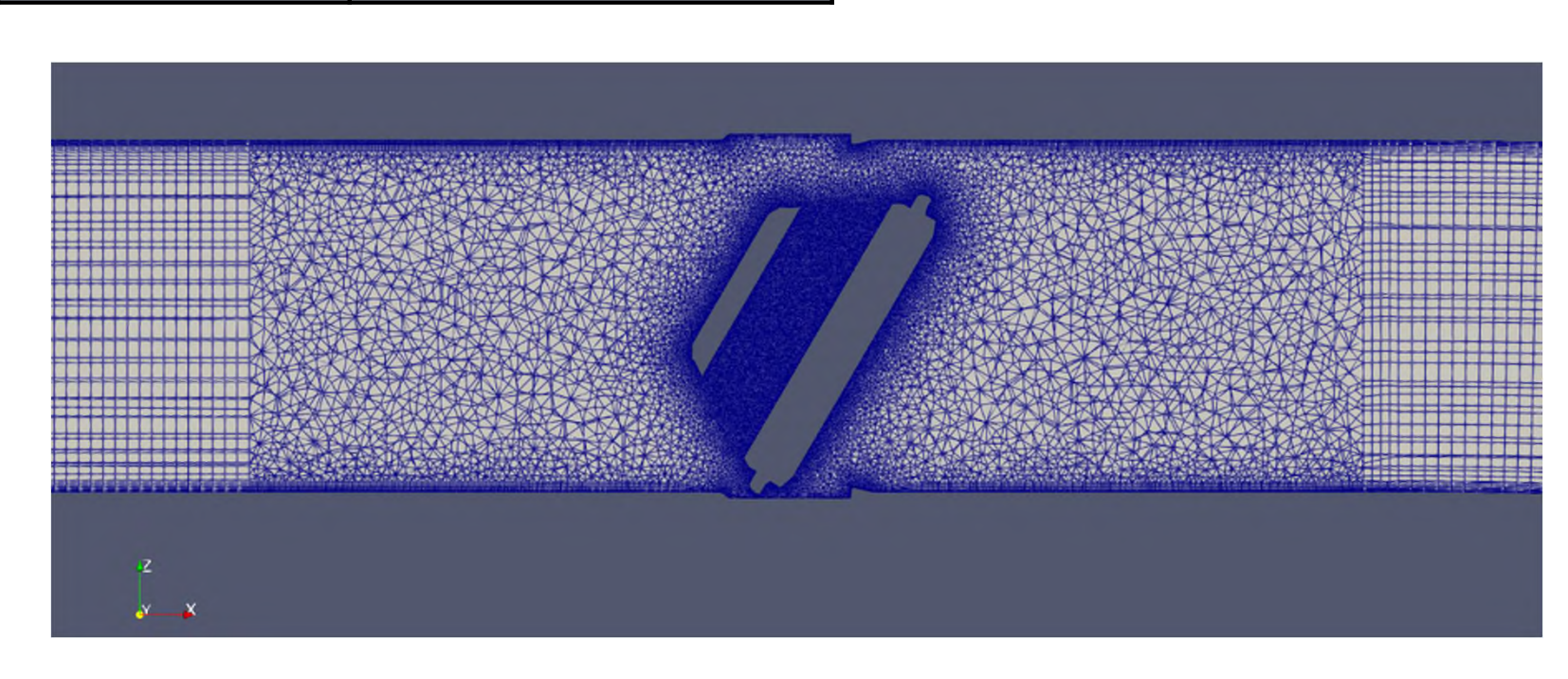
Zeitabhängige – CFD Berechnungen

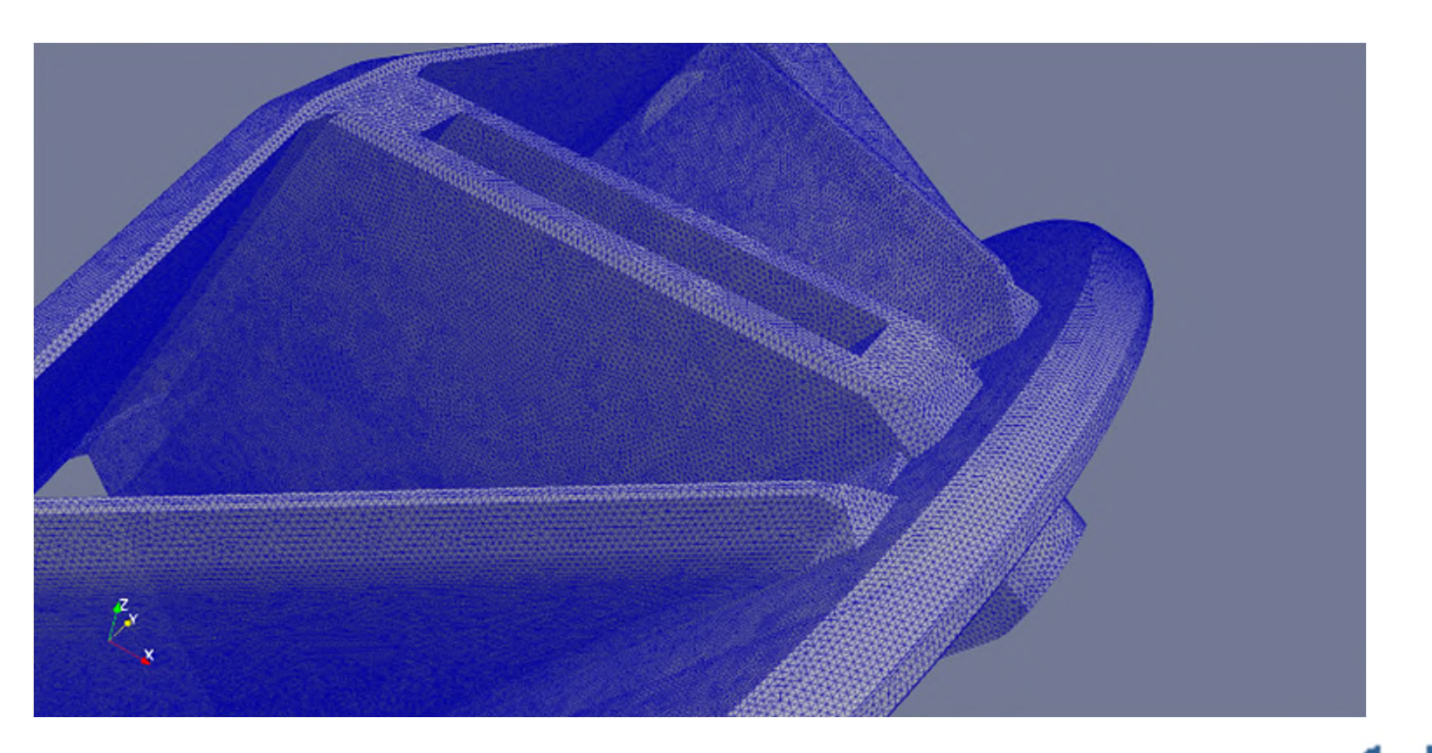
Resultate 1D-Model

- Maximale Moment
 - Durchfluss
 - Winkel

Elemente	22.2 10 ⁶
Vernetzung	Hybrid (Tétra-Prisma)
Anzahl Layer	10
Layer ratio	1.2





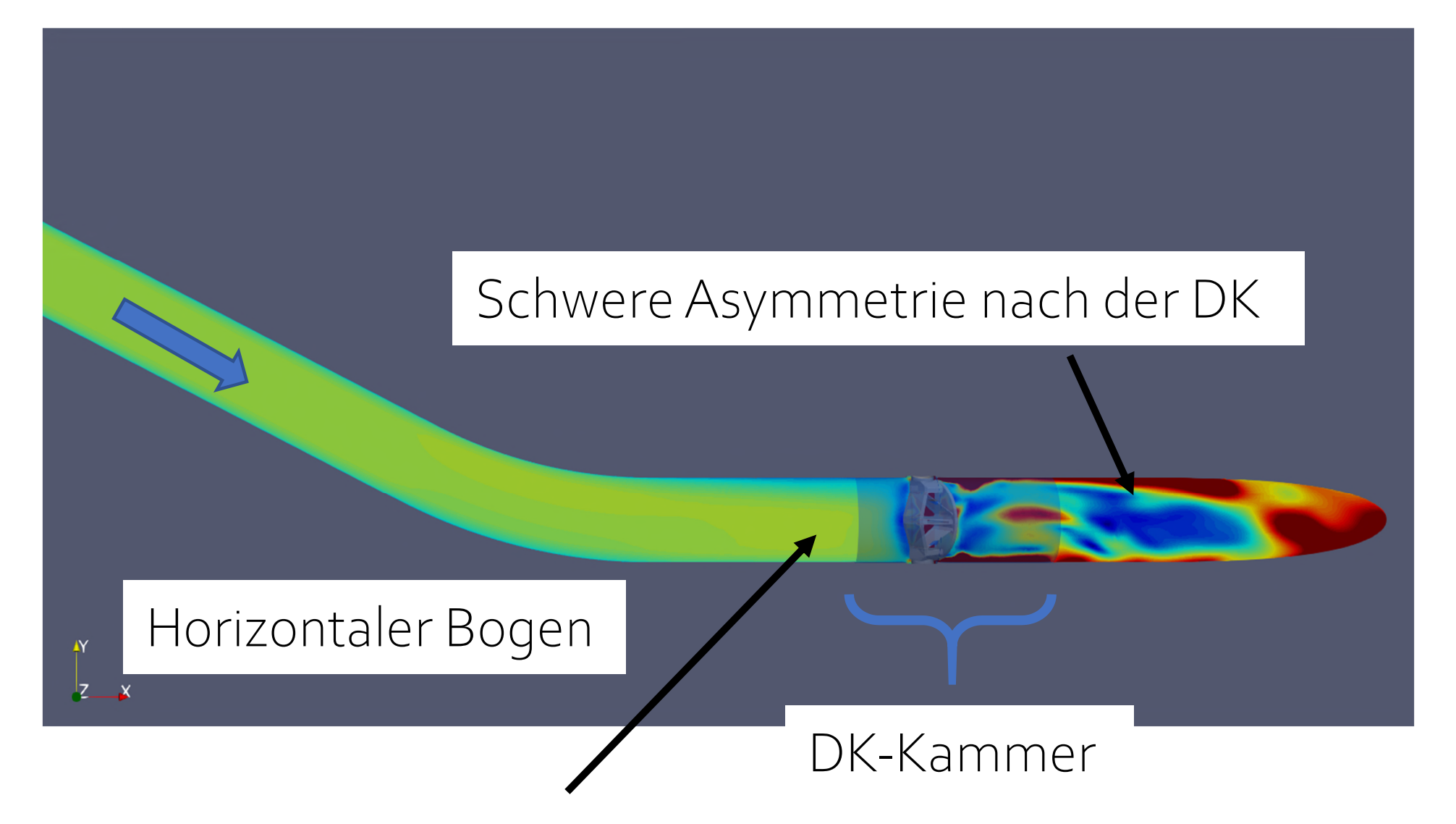




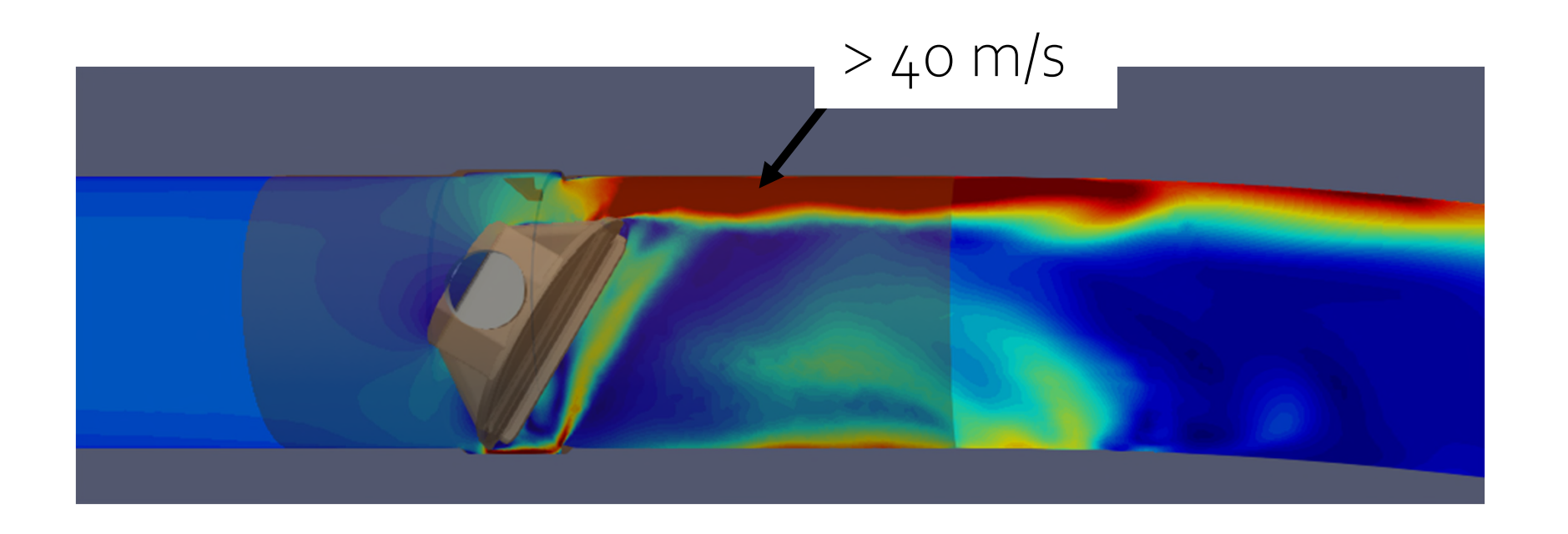
Zeitabhängige – CFD Berechnungen

DK-Kammer Von Seite - Geschwindigkeit

Von oben - Geschwindigkeit

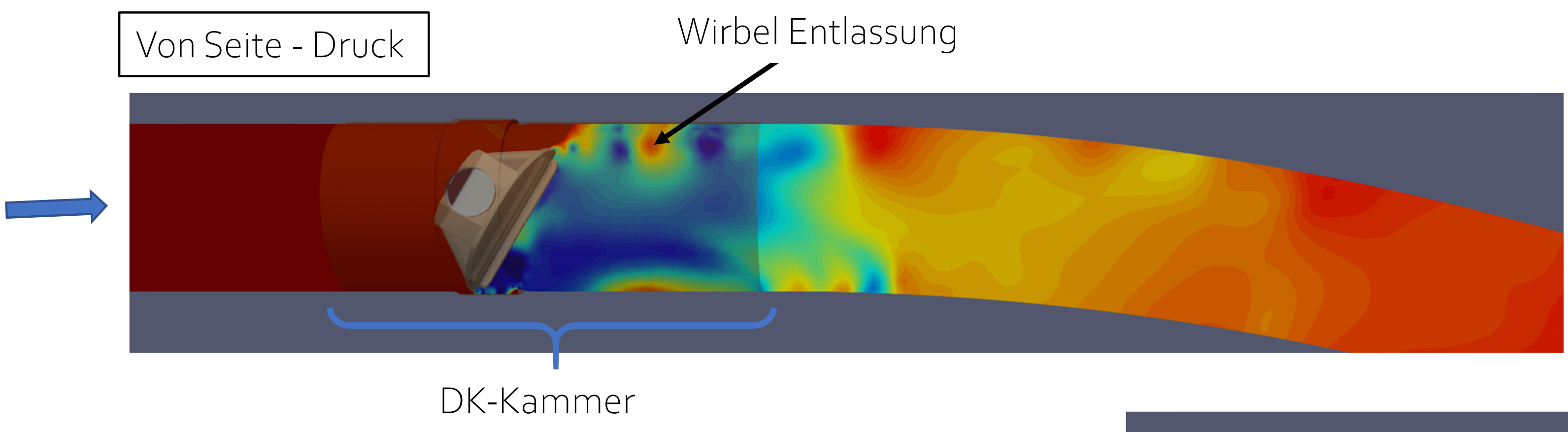


Leichte Asymmetrie vor der DK



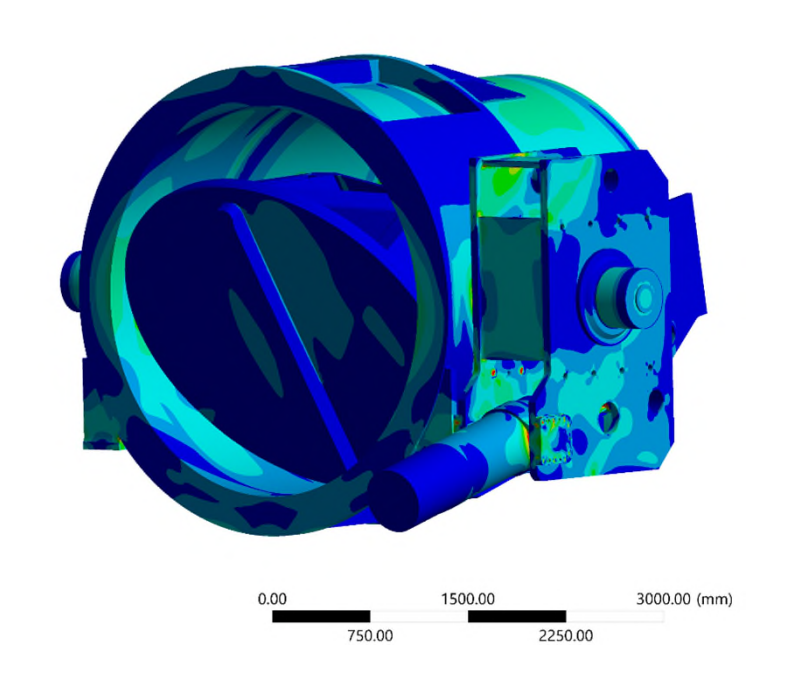


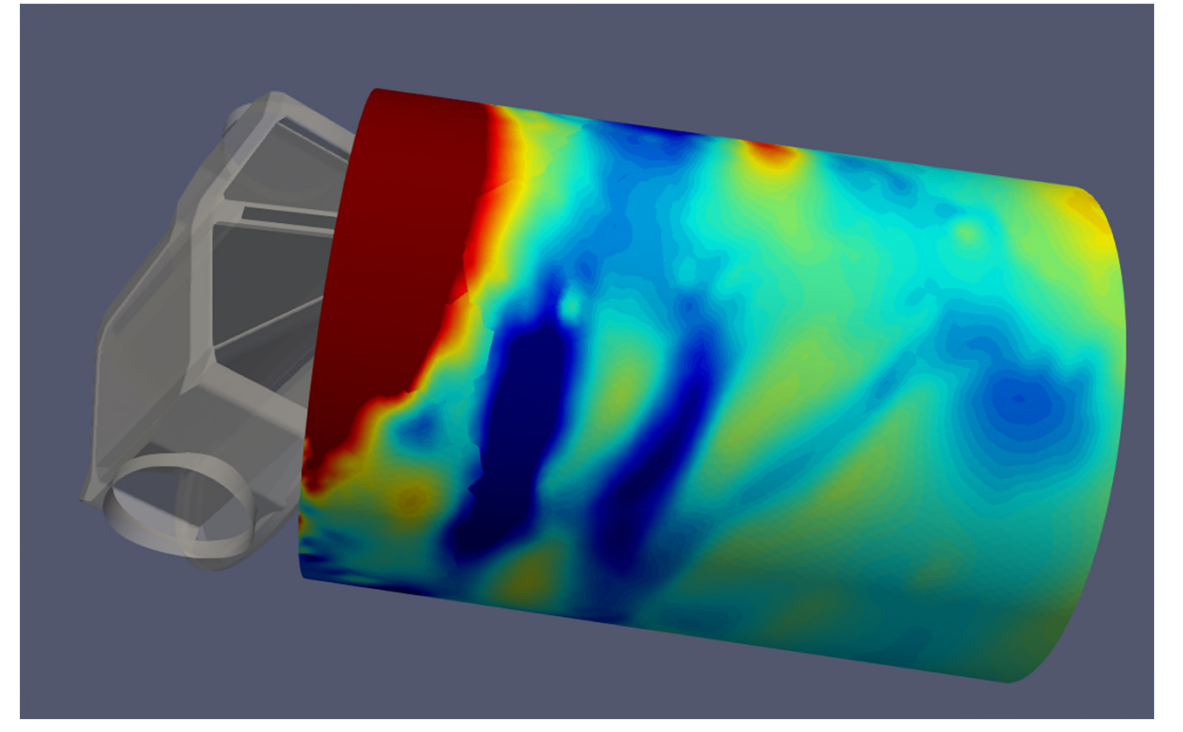
Zeitabhängige – CFD Berechnungen



Unstationäre-Belastungen sind nicht zu vernachlässigen

Druckfeld => FEM Berechnungen
o Statisch
o Harmonisch

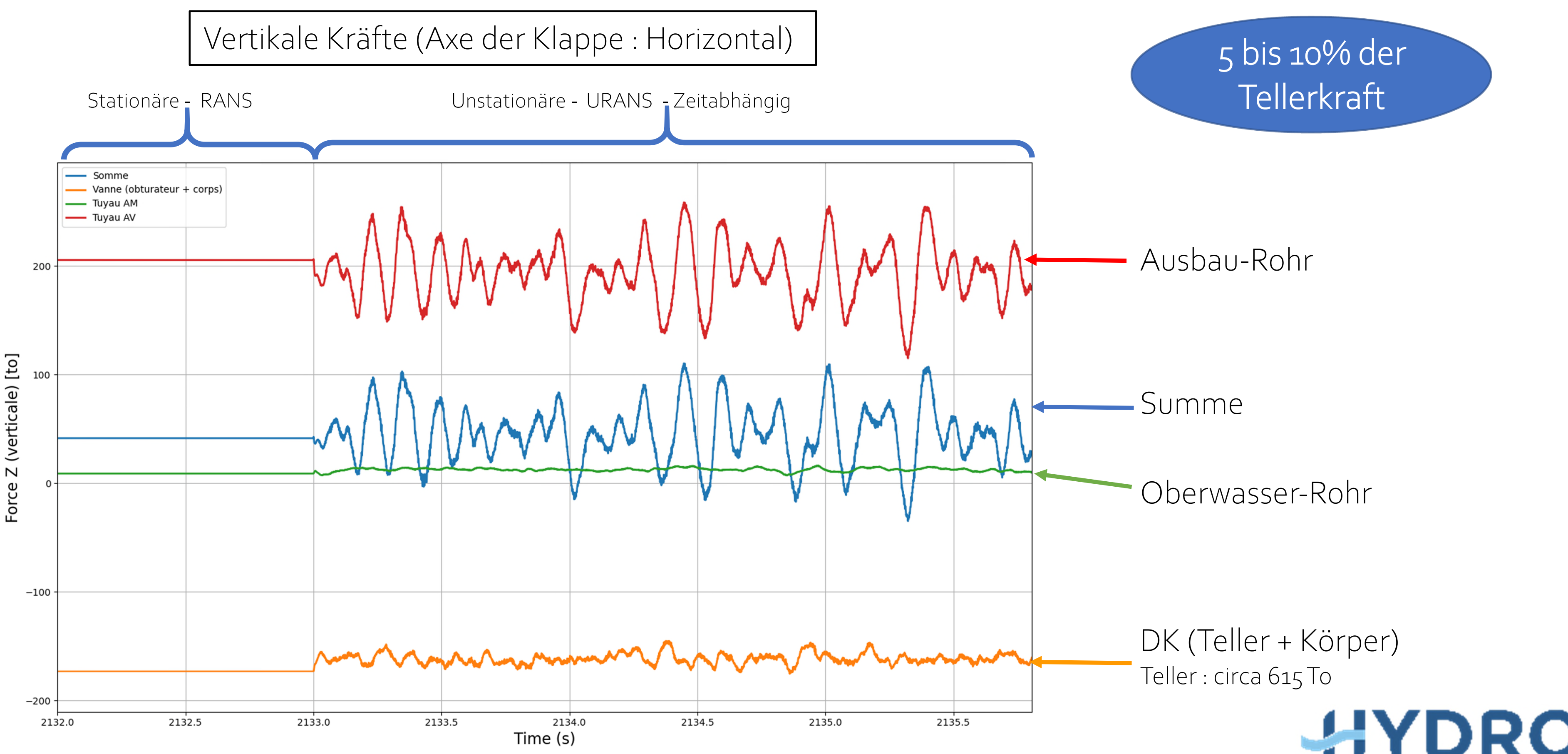




Ausbaurohr - Druck

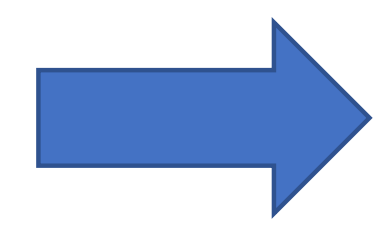


Zeitabhängige – CFD Berechnungen



Abschätzung der Reibungen im Schließmechanismus

- Konstant Reibung
- Reibung proportional mit Teller Kraft (Reibungskoeffizient)



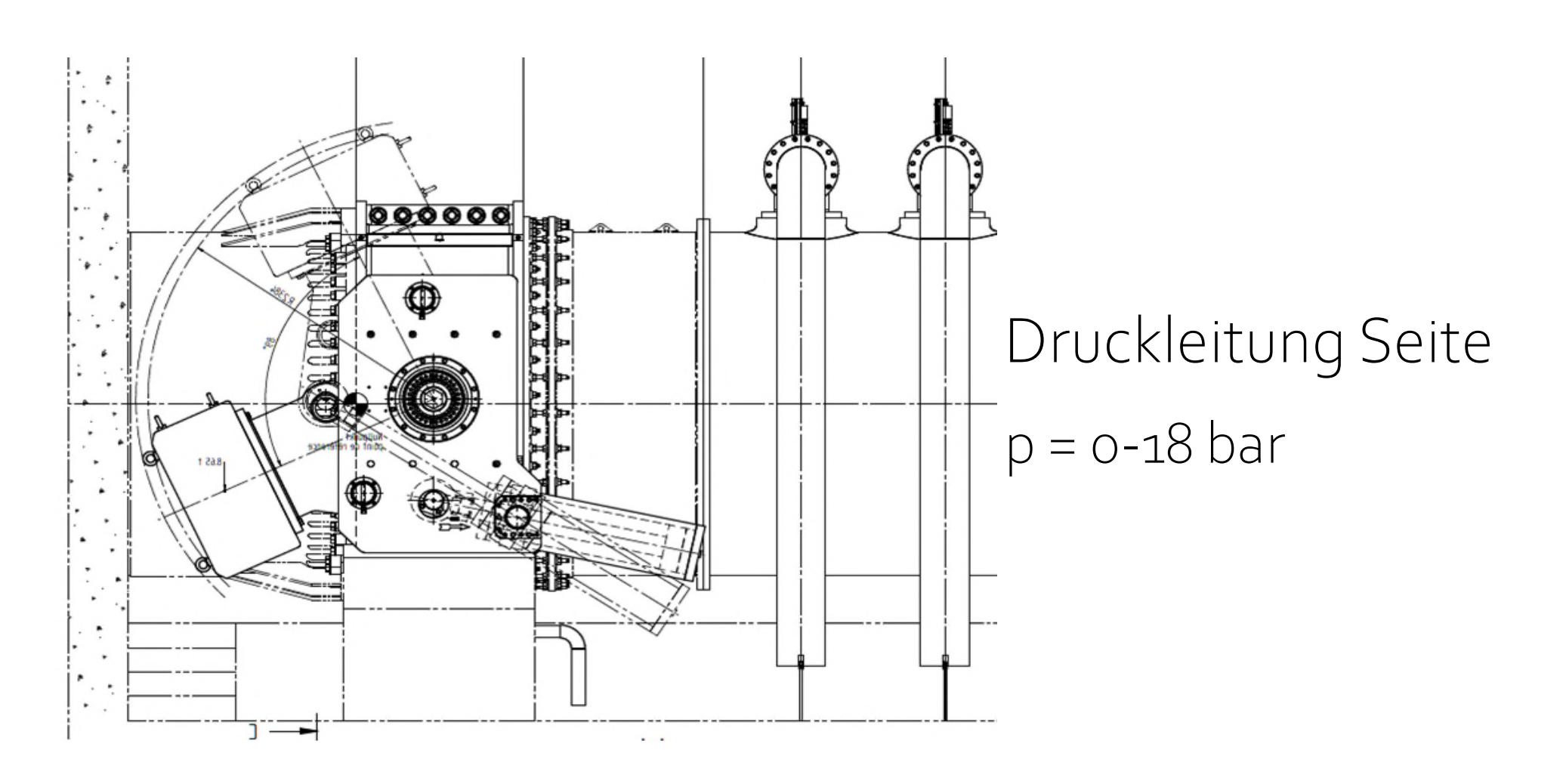
Öffnungsversuche unter Druckdifferenz

Messungen:

- Winkel
- Wasserdruck oben
- Wasserdruck unten
- > Öldruck im Zylinder

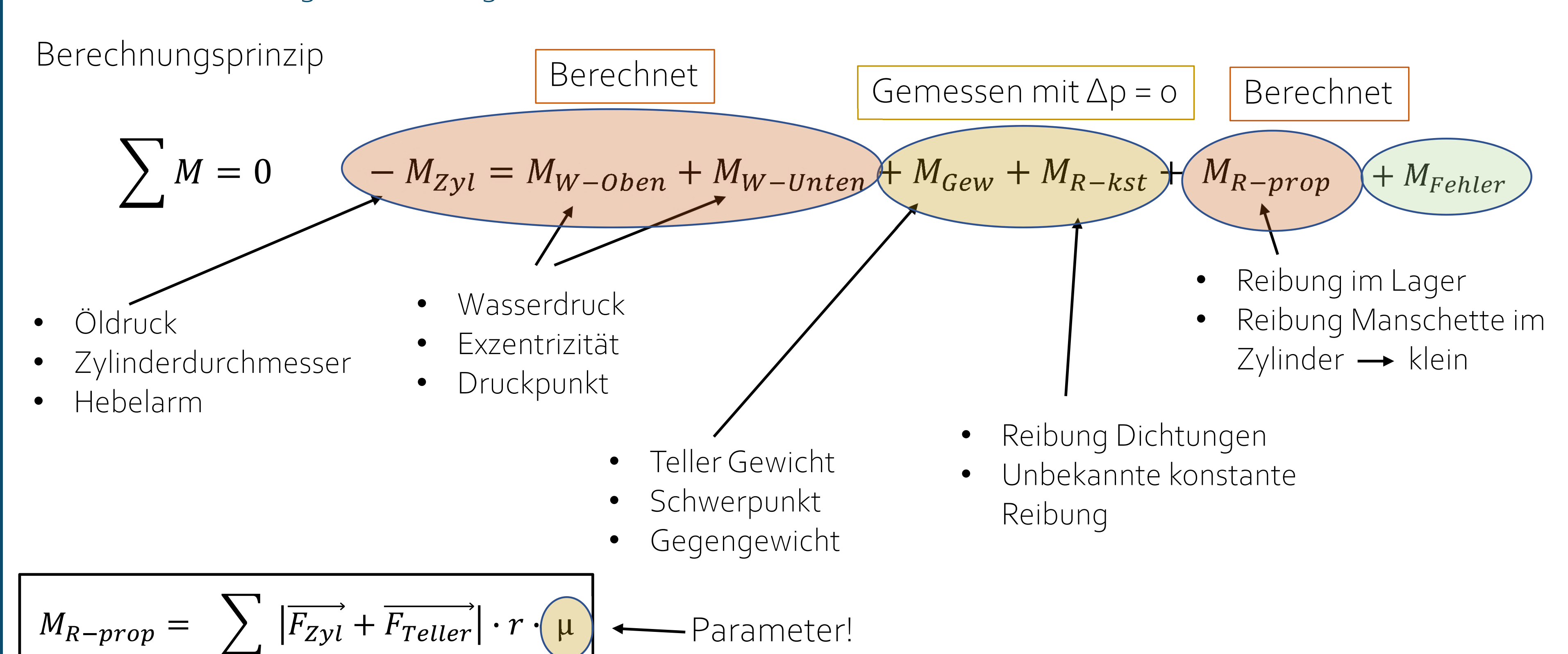
Hochdruck Seite

p = circa 18 bar





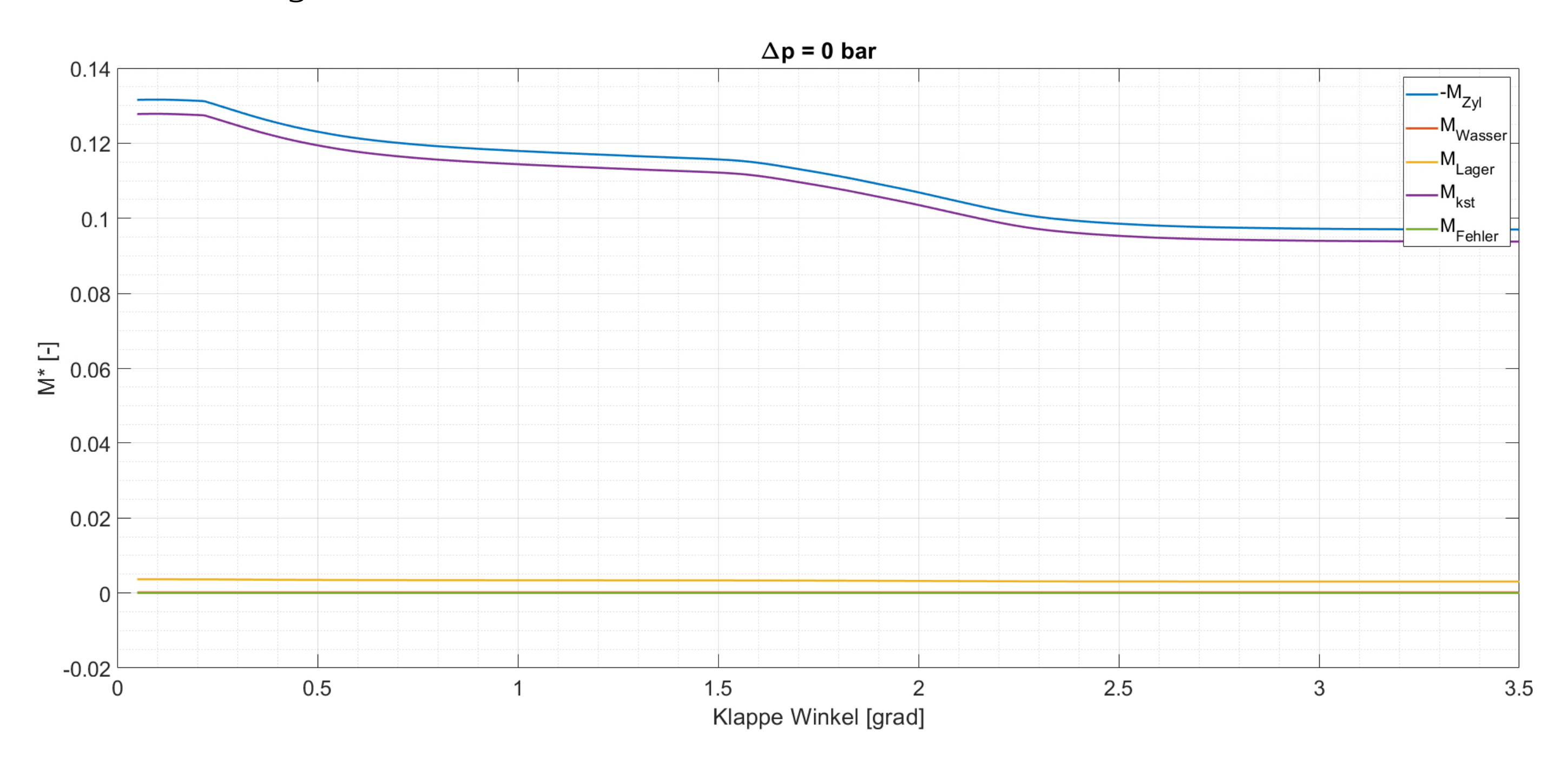
Abschätzung der Reibungen im Schließmechanismus





Abschätzung der Reibung im Schließmechanismus

Öffnungsversuche ohne Druckdifferenz

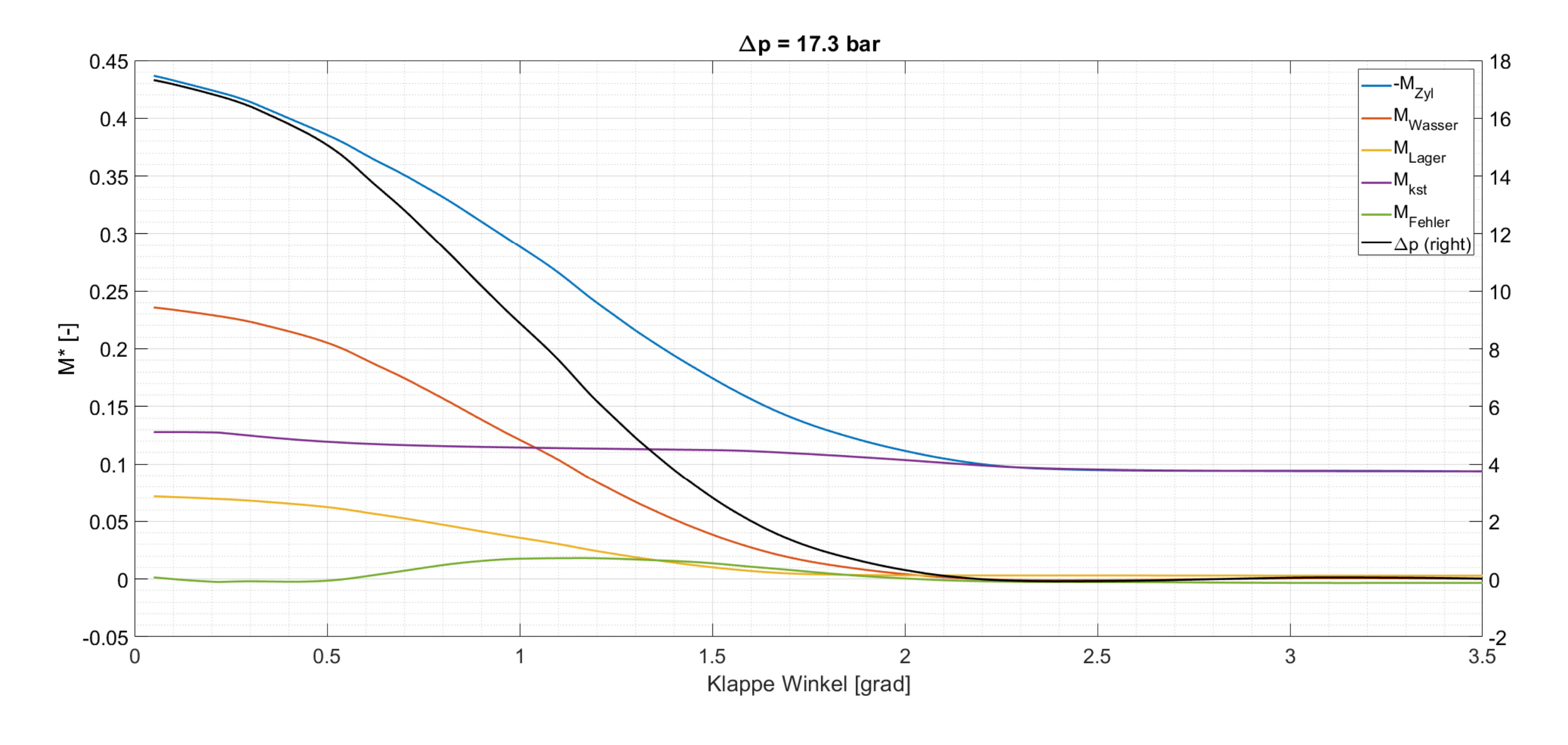


$$\begin{aligned} M_{kst} &= -M_{Zyl} - M_{Lager} \\ M_{Wasser} &= 0 \\ M_{Fehler} &= 0 \end{aligned}$$



Abschätzung der Reibung im Schließmechanismus

Öffnungsversuche mit 17.3 bar Druckdifferenz

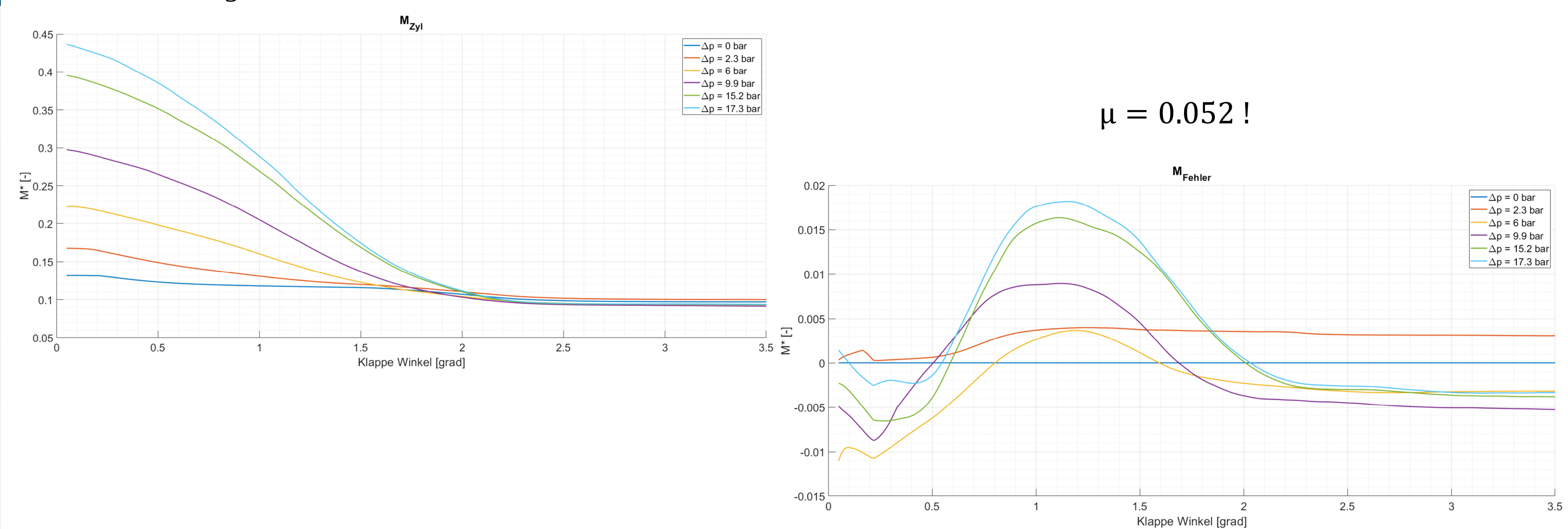




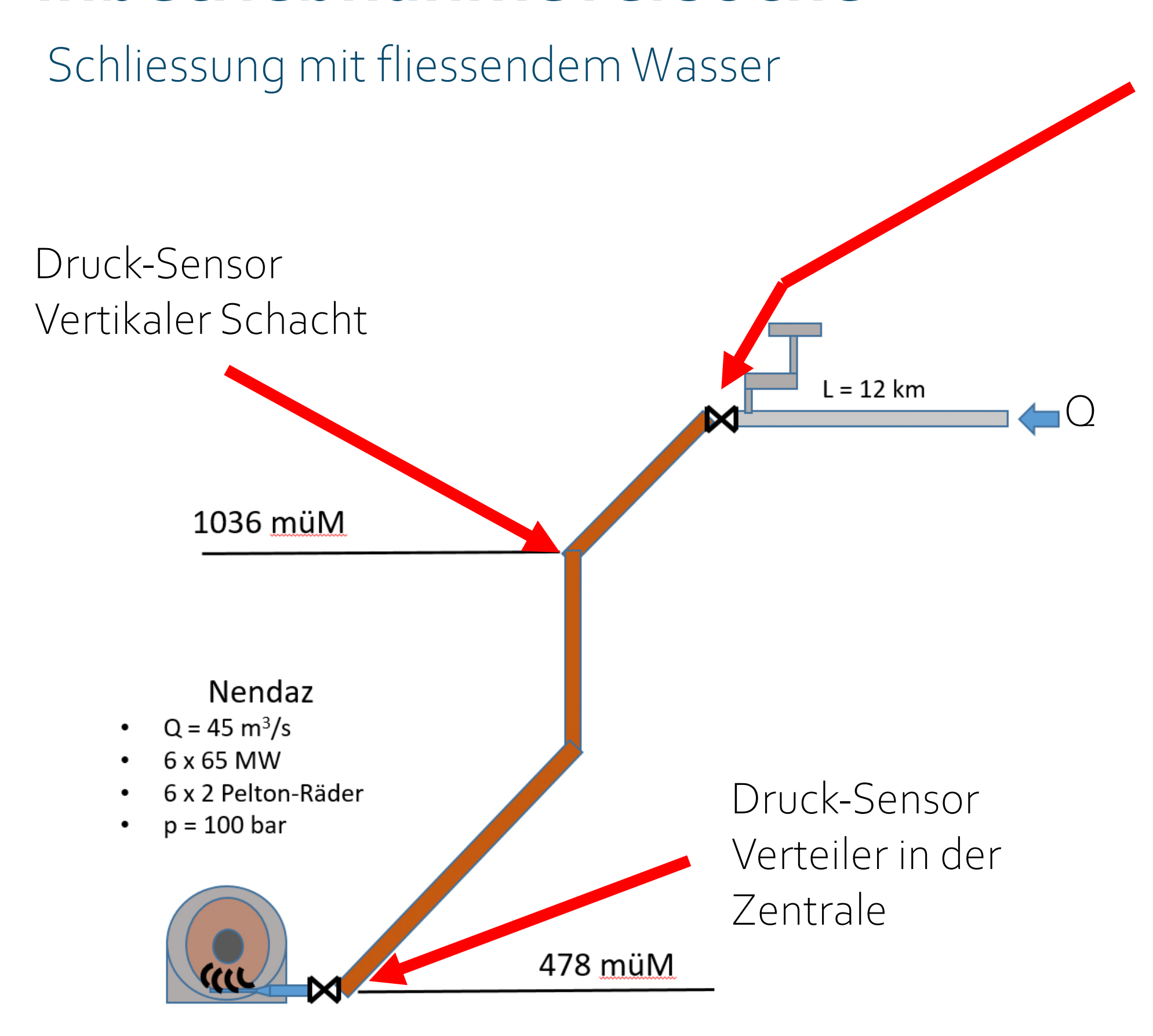


Abschätzung der Reibung im Schließmechanismus

Öffnungsversuche Druckdifferenz







DK

- > Winkel
- ➤ Wasserdruck vor und nach DK
- ➢ Öldruck im Zylinder
- Ventil Stellung
- Beschleundigungssensor
- > Mikrophone

Synchro von 3 Datenspeicher

- ✓ Lichtwellenleiter (LWL)
- ✓ Synchro Signal TTL
- ✓ Fehlsynchro: circa 20 µs

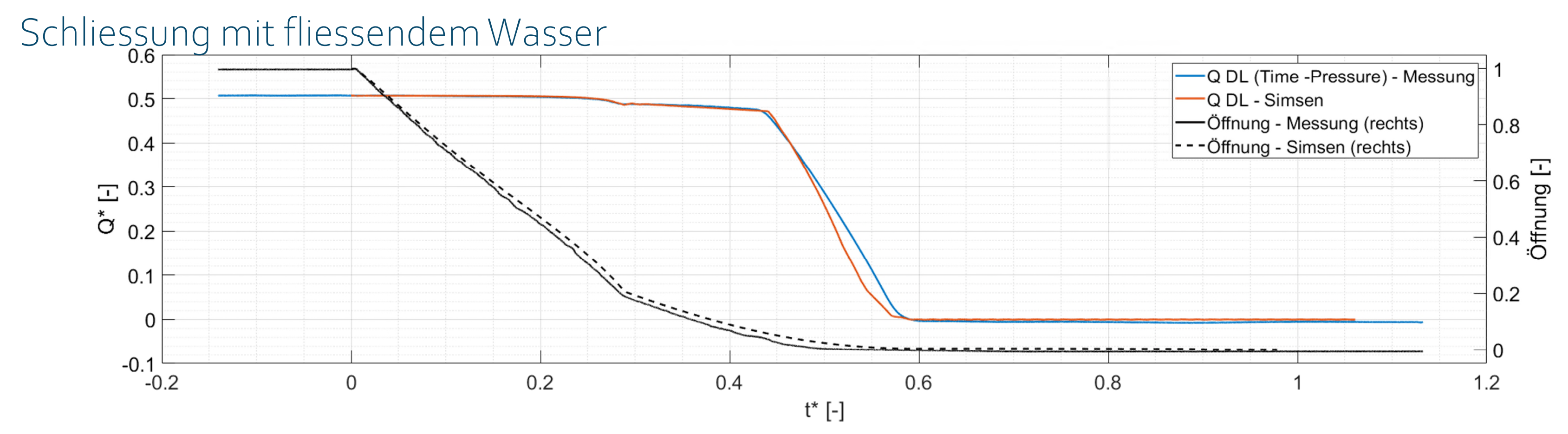


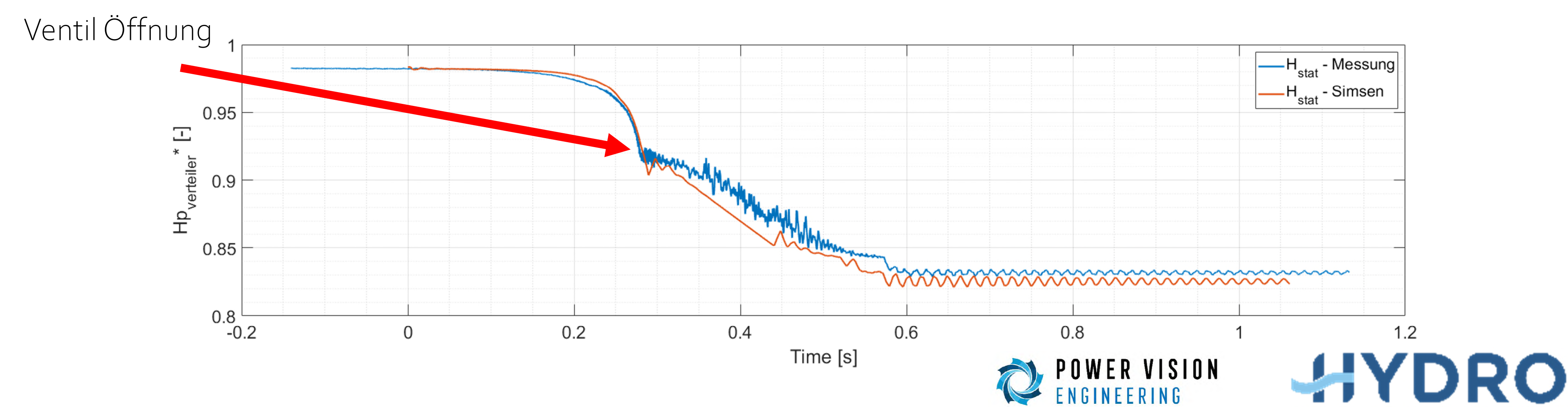
Schliessung mit fliessendem Wasser

Vorgang

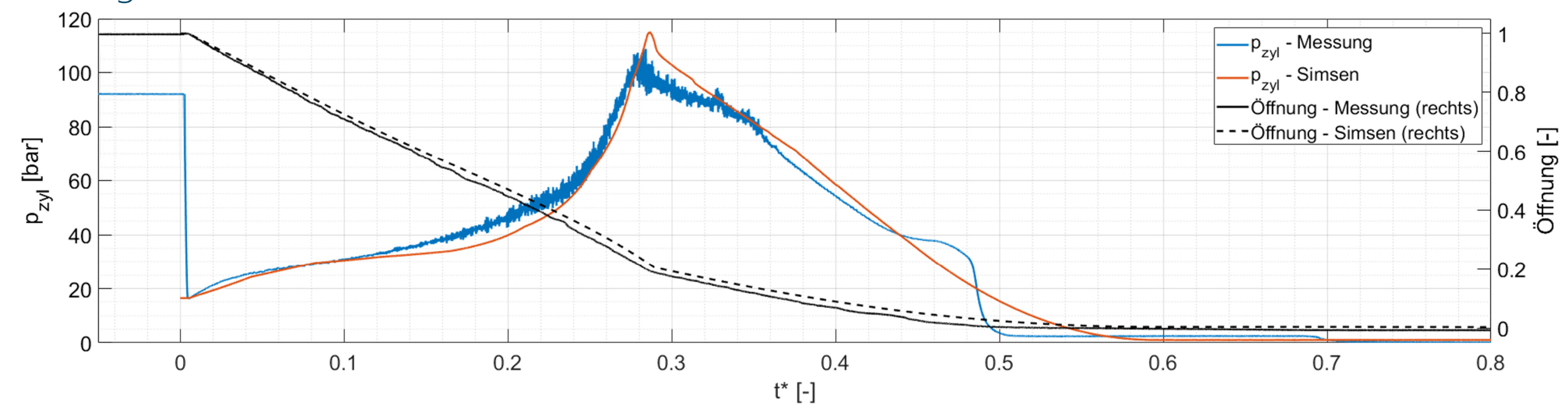
- 1) Lastaufnahme bis zirka 50% Nenndurchfluss
- 2) Stabilisierung des Wasserschloss-Niveau (Stationärer Zustand der gesamten Anlage)
- 3) Öffnungs-Regelung auf allen Injektoren im Betrieb (nicht Leistung)
- 4) Schliessbefehl auf der DK
- 5) Bei etwa 5 Grad der Teller => Schnellstopp Befehl auf allen Maschinen.

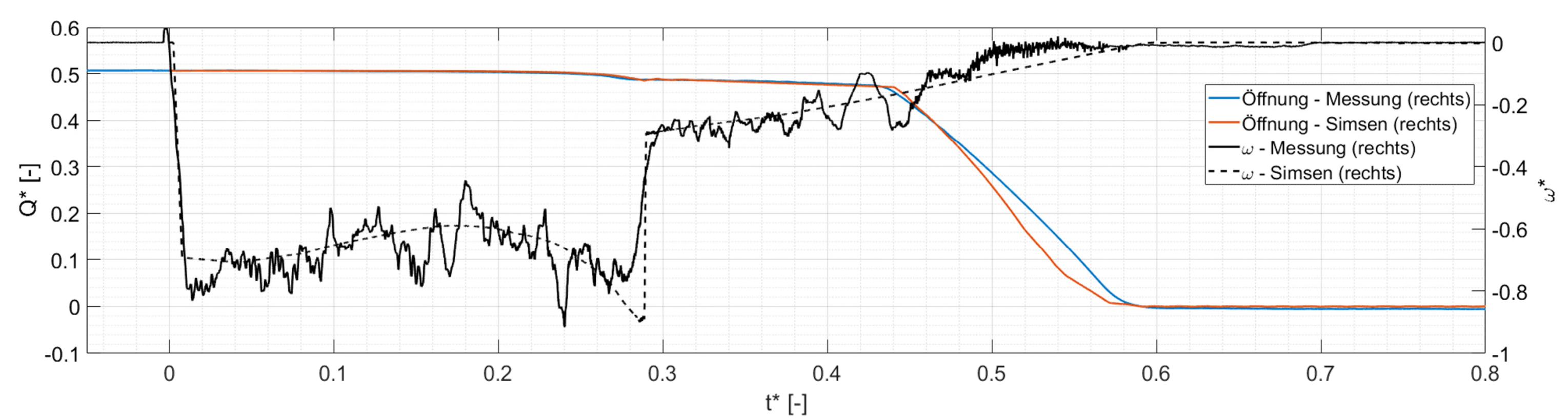






Schliessung mit fliessendem Wasser







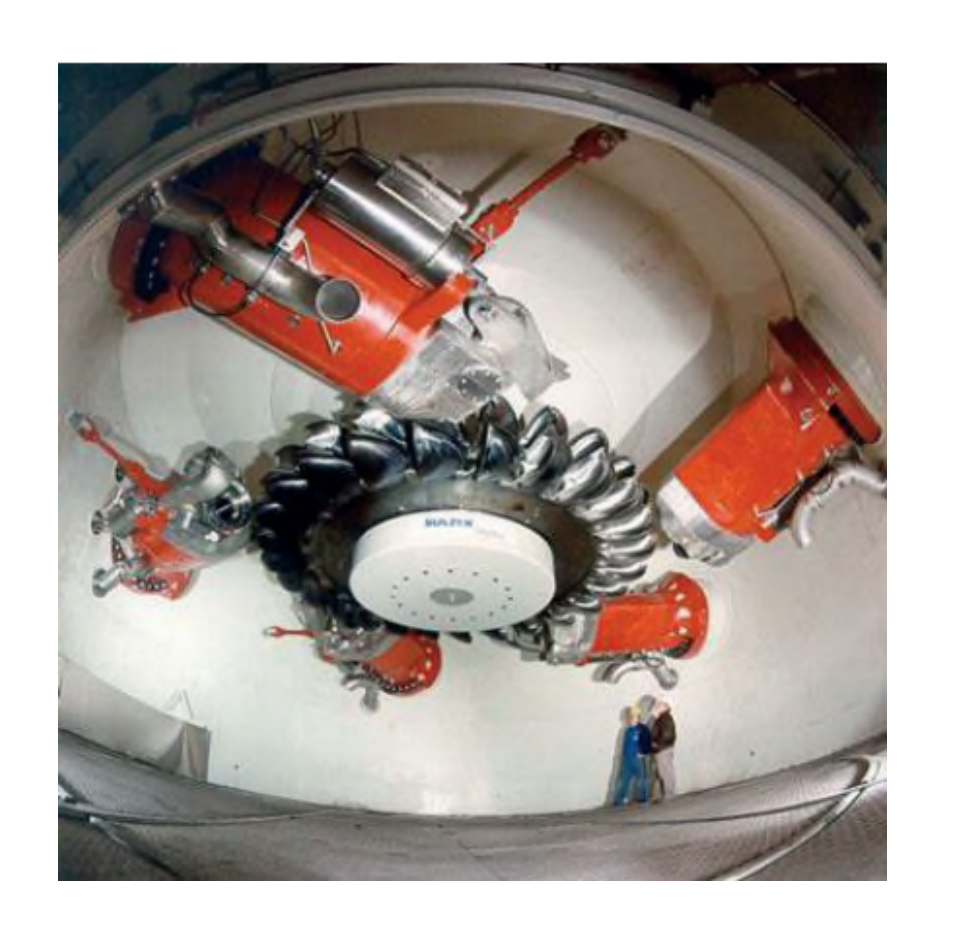


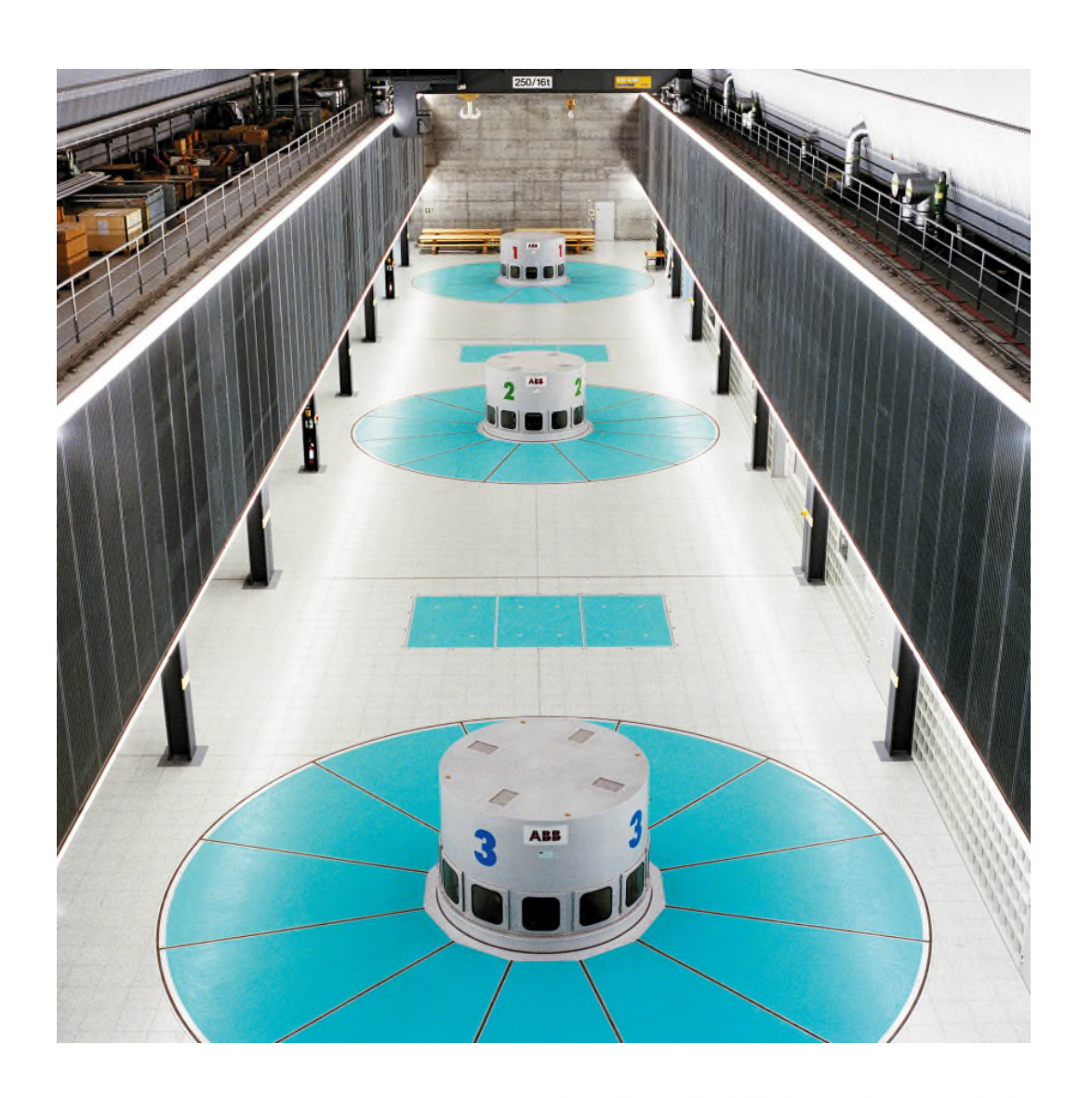
Schlussfolgerung



- 1) Die Belastung einer DK ist Funktion der gesamten Anlage und Einstellungsparameter von jedem Element
- 2) Statische Berechnungen (unendlich lange Schliesszeit) haben grosse Begrenzungen
- 3) Die Trägheit der Galerie, Druckleitung kann ein grosser Einfluss auf die Belastungen der DK haben.
- 4) Der grösste Durchfluss beim Bruchfall erzeugt nicht unbedingt der grösste Drehmoment
- 5) Die Ventile sind Sicherheitselemente der Druckleitung aber auch der DK.
- 6) Die Zeit durchschnittliche Summe der Kräfte in einer DK ist etwa = o aber :
- 7) Die Zeit abhängige Schwingungen der Kräfte sind überhaupt nicht zu vernachlässigen.
- 8) Die Sicherheit-Faktoren dürfen nicht geknabbert werden











Besten Dank:

- Ing. Mek. Dipl. EPF, dr ès sc. Steven Stojanovic-Roth (HYDRO Exploitation AG)
- Ing. Elek. Dipl. EPF Beat Imboden (Direktor Grande Dixence AG)
- Ing. Mek. Dipl. EPF, dr ès sc. Christophe Nicolet (Managing Direktor POWER VISION ENGINEERING GmbH)
- Ing. Mek. Dipl. EPF, dr ès sc. Sébastien Alligné (POWER VISION ENGINEERING GmbH)



027 328 44 **11** 027 328 44 **12**



